

响应面法优化表面活性剂/ 微波辅助提取海红果渣中果胶的工艺

刘慧瑾, 杜芳艳*, 高立国, 代帅

(榆林学院化学与化工学院, 陕西榆林 719000)

摘要:以表面活性剂十二烷基硫酸钠(SDS)水溶液为萃取剂,采用微波辅助提取海红果渣中的果胶,系统考察了SDS浓度、pH、微波时间、料液比、提取温度等因素的影响,并通过响应面法对提取工艺进行了优化,得出最佳工艺条件为表面活性剂浓度为0.8%,提取温度为50℃,料液比为1:15,微波时间为14min,pH为2.0,重复提取两次,在该条件下,海红果渣中果胶得率为16.1%。与拟合的二次回归模型预测值基本相符。

关键词:表面活性剂, 响应面法, 微波辅助萃取, 提取果胶, 海红果渣

Response surface methodology for optimizing process of surfactant/microwave-assisted extraction pectin of *Malus micromalus* Makino

LIU Hui-jin, DU Fang-yan*, GAO Li-guo, DAI Shuai

(College of Chemistry and Chemical Engineering, Yulin University, Yulin 719000, China)

Abstract: The effect of Sodium dodecyl sulfate (SDS) concentration, extraction temperature, extraction time and extraction solvent volume on the extraction process of Pectin Sodium dodecyl sulfate (SDS) as the extractant from *Malus micromalus* Makino with the microwave-assisted extraction technology were investigated systematically in this paper. The extraction parameters were optimized by the response surface methodology. The optimum conditions were as follows: SDS concentration was 0.8%, extraction temperature was 50℃, the volume of extraction solvent used per gram dried *Malus micromalus* Makino was 15mL, extraction time was 14min, extraction pH value was 2.0. Repeated extraction for two times and the extraction rate was up to 16.1%. The prediction values of the fitted quadratic regression model well agreed with the experimental values.

Key words: surfactant; response surface methodology; microwave-assisted extraction; extraction pectin; *Malus micromalus* Makino

中图分类号: TS255.1

文献标识码: B

文章编号: 1002-0306(2014)21-0215-05

doi: 10.13386/j. issn1002 - 0306. 2014. 21. 038

果胶是人体七大营养素中膳食纤维的主要成分,具有良好的抗腹泻、抗癌、治疗糖尿病降血脂、止血、消肿、解毒和减肥等功效,是公认安全的食品添加剂。果胶的需求量呈高速增长态势^[1]。果胶的提取方法有微波法^[2-3]、超声波法^[4]、酶法^[5]、离子交换法^[6]、膜分离法^[7]、盐析法^[8]、微生物法^[9]等。表面活性剂具有特殊的两亲结构,可形成分子液膜萃取,增加液固接触面积,增强溶剂对物料的润湿性和渗透性;另外,表面活性剂具有显著的降低表面张力的能力,它的许多应用都与此特性有关,例如分散、润湿、

渗透和铺展作用;由于表面活性剂降低了细胞膜与水溶液间的界面张力,有利于水溶液通过毛细管渗透进入细胞壁内,溶解更多有效成分,且物料更易被溶剂分散、润湿和铺展开来,增加了有效成分的溶出几率;当表面活性剂存在于界面时还表现出一定的吸附作用;表面活性剂的这种特性,使得其在提取分离中能增加浸出效能和萃取率,在天然产物提取中得到应用。利用微波加热能破坏原料的薄壁组织细胞,提高组织细胞的多孔渗透性和吸水能力。将微波和表面活性剂两者的功能结合起来,起到协同作用,可降低成本,提高萃取效率。表面活性剂增效提取果胶的研究已有报道^[10],但应用表面活性剂增效与微波辅助技术提取果胶的研究未见报道。海红果为蔷薇科植物海红子(*Malus micromalus*)的果实,学名西府海棠^[11],是我国稀有果树资源。我们采用表面活性剂/微波辅助技术提取海红果渣中的果胶,通过响应面法对提取工艺进行优化,以求为海红果的开发利用提供技术支撑和理论依据。

收稿日期: 2014-03-18

作者简介: 刘慧瑾(1981-),女, 硕士, 讲师, 主要从事天然产物的开发研究。

* 通讯作者: 杜芳艳(1960-),女, 本科, 教授, 主要从事天然产物的开发利用研究。

基金项目: 榆林市科技局2010年农业攻关项目; 陕西省教育厅2012年产业化培育项目(2012JC26)。

1 材料与方法

1.1 材料与仪器

海红果 采自陕西省府谷县。

十二烷基硫酸钠(SDS) 西安化学试剂公司;无水乙醇;D-半乳糖醛酸对照品 中国药品及生物制品鉴定所;咔唑 阿拉丁试剂网;所用试剂均为分析纯,水为二次蒸馏水。

MDS-8型多通量密闭微波化学工作站 上海新仪微波化学科技有限公司;电子分析天平沈阳龙腾电子有限公司;722S型可见分光光度计 上海菁华科技仪器有限公司;80-2型电动离心机 江苏环宇科学仪器厂;pHS-3C型酸度计 上海理连仪器厂;101-1型数显电热鼓风干燥箱 上海恒一科学仪器有限公司;FZ102型粉碎机 北京中兴伟业仪器有限公司。

1.2 实验方法

1.2.1 原料预处理 海红果去除果肉部分,果核放入烘箱内于60℃下烘干,粉碎,过60目筛得果渣粉,果渣粉用90℃水(料液比为1:20)煮10min,使果胶酶失去活性,冷却过滤,滤渣用35℃的温水冲洗,至滤液为无色,以除去滤渣中的糖类、色素等杂质,60℃下干燥,保存备用。

1.2.2 果胶提取工艺 称取2.000g果渣粉,按照1:15(g/mL)的料液比,加入0.8%的十二烷基硫酸钠(SDS)溶液,用0.05mol/L的盐酸调节pH2.0,在50℃下,于MDS-8型多通量密闭微波化学工作站中提取14min,过滤,重复提取两次,合并滤液,滤液定容至100mL得样品储备液。

1.2.3 标准曲线与果胶含量的测定 以D-半乳糖醛酸为标准品绘制标准曲线,采用咔唑-硫酸分光光度法测定^[12]。准确量取样品储备液10.0mL于50mL烧杯中,加入1.0mol/L硫酸溶液6.0mL,在70℃水浴中加热20min进行水解,水解物冷却至室温后移入50mL容量瓶,水稀释定容,得到样品溶液。准确移取样品溶液10.0mL并定容到50mL,移取稀释后的样品溶液1.0mL于试管中,加入浓硫酸6.0mL,边加边流水冷却,冷至室温后加入0.15%的咔唑无水乙醇溶液0.50mL,摇匀,在室温下暗处放置30min后,以试剂空白为参比,在530nm处测定其吸光度。样品中的果胶物质总含量以半乳糖醛酸表示:

$$\text{果胶得率}(\%) = c \times 50 \times 50 \times 10^{-6} / W \times 100$$

式中:c为从标准曲线查得的所测果胶液中的半乳糖醛酸的浓度(mg/L);W为样品的质量,g。取8支50mL比色管,依次加入浓度为0、10、20、30、40、50、60、70、80、90、100μg/mL的半乳糖醛酸标准溶液1.0mL,按实验方法进行测定,以吸光度为纵坐标,半乳糖醛酸浓度为横坐标绘制标准曲线。

1.2.4 单因素实验 按照1.2.2方法,采用单因素轮换实验分别考察pH、提取时间、料液比、表面活性剂用量、提取温度对果胶得率的影响,确定各因素的最佳范围。

1.2.5 响应面法组合设计工艺优化实验 在单因素实验结果的基础上,确定采用质量分数为0.8%的

SDS为溶剂,微波提取功率为700W,温度为50℃,同法提取两次,选取溶剂的pH A、微波提取时间B及料液比C三个对海红果渣中果胶得率影响较大的主要因素进行优化实验。以海红果渣中果胶得率R_i为目标,使用中心组合实验设计和响应面分析法,在三因子三水平上对提取工艺进行优化。实验因子和水平见表1。通过Design Expert 8.0.6软件分析对实验进行回归分析,预测提取果胶的最优工艺参数。

表1 响应面实验因素水平编码

Table 1 Levels and factors of the Box-Behnken design

水平	因素		
	A 溶剂的 pH	B 时间(min)	C 料液比(g/mL)
-1	1.8	12	1:10
0	2.0	14	1:15
1	2.2	16	1:20

2 结果与分析

2.1 半乳糖醛酸标准曲线

在0~100.0mg/L范围内,吸光度和半乳糖醛酸的浓度呈良好的线性关系(误差量<±0.05),见图1。回归方程为:A=0.0115c+0.0204(R²=0.9993)。式中:A为波长530nm处的吸光度;c为D-半乳糖醛酸的含量(mg/L)。

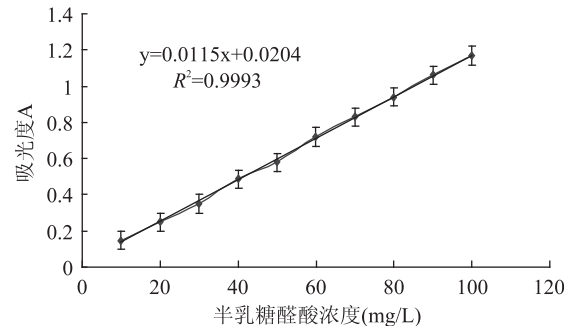


图1 半乳糖醛酸标准曲线

Fig.1 Egression curve of galaturonic acid

2.2 单因素实验

pH对果胶得率的影响:固定提取温度50℃、SDS浓度为0.8%,选用料液比1:20,微波辅助提取10min,微波功率700W,考察不同pH对果胶得率的影响,结果如图2所示,当pH<2.0时,果胶得率随pH增大而增加,在pH为2.0时果胶的得率达到最大,pH继续增大时果胶得率下降,这是因为酸性过低,果胶不稳定,逐步水解成单糖,而酸度过大对果胶分子键及酯键破坏大,果胶发生脱酯裂解,导致果胶得率下降。所以pH为2.0较合适。

微波时间对果胶得率的影响:固定提取温度50℃、SDS浓度为0.8%,选用料液比1:20,pH为2.0,微波功率700W,考察不同微波辅助提取时间对果胶得率的影响,结果如图3所示,在微波提取时间低于12min时,果胶得率随着提取时间的增加而增大,在12min时果胶得率最大,时间大于12min时,再增加提取时间,果胶的得率反而下降。这一方面是因为

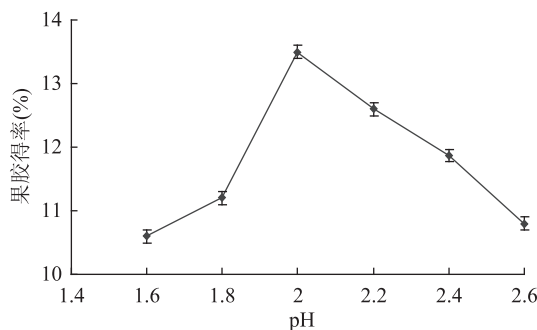


图2 pH对果胶得率的影响

Fig.2 Effect of pH value on the yield of pectin

微波作用于细胞壁,破坏原料的薄壁组织细胞,促进细胞间果胶的释放,另一方面是由于表面活性剂的吸附量在吸附初期,随时间平方根成正比,且随浓度增大而增加,吸附量增大,表面张力降低,有利于果胶的溶出。但处理时间过长,表面吸附经过一定时间达到了饱和吸附量,表面张力基本不变^[13],而微波产生的高温又会使果胶中的半乳糖醛酸分解,从而使果胶得率下降。

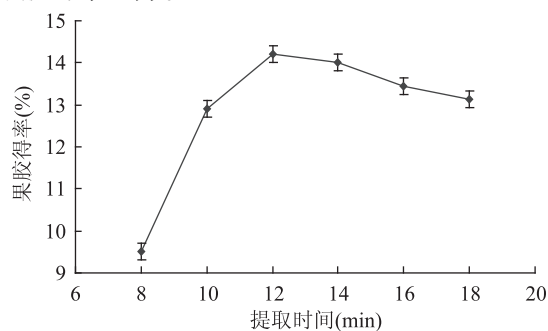


图3 提取时间对果胶得率的影响

Fig.3 Effect of extraction time on the yield of pectin

料液比对果胶得率的影响:固定提取温度50℃、SDS浓度为0.8%,pH为2.0,微波功率700W,微波辅助提取时间12min,考察不同料液比对果胶得率的影响,结果如图4所示,当料液比为1:15时果胶得率最大,料液比过小时,不利于果胶质水解成果胶,溶液中含有的果胶浓度低。料液比过大时,稀释了提取物的浓度,提取量反而下降,并且由于其他物质的溶出,造成过滤困难。

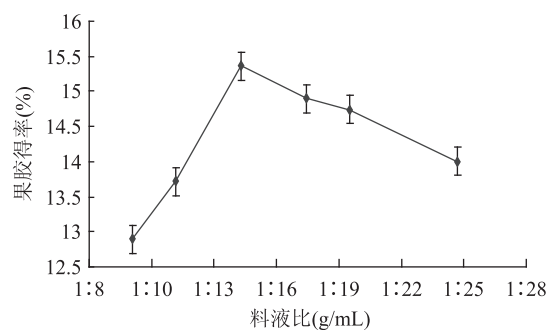


图4 料液比对果胶提取率的影响

Fig.4 Effect of solid to liquid ratio on the yield of pectin

SDS浓度对果胶得率的影响:固定提取温度50℃、料液比1:15(g/mL),pH为2.0,微波功率

700W,微波辅助提取时间14min,考察SDS浓度对果胶得率的影响,结果如图5所示,当SDS浓度小于0.4%时得率随浓度增加而增大,在0.8%时,果胶得率最大。果胶得率提高的原因其一是表面活性剂形成分子液膜萃取,增加液固接触面积,其二是因为表面活性剂特定的双亲结构,具有分散、渗透、润湿等作用,可降低细胞膜与水溶液间的界面张力,有利于水溶液通过毛细管渗透进入细胞壁内,溶解更多的果胶,且在小于临界胶束浓度时,表面张力随着表面活性剂浓度的增加而降低,因此果胶得率随着SDS浓度的增加而增大。当SDS浓度大于0.4%时,增大SDS的浓度,果胶得率总体变化不是很大。这是因为当表面活性剂浓度达到临界胶束浓度后,表面张力随表面活性剂浓度的增加变化很小甚至不变^[13]。因此果胶得率没有太大的增加。实验选择SDS浓度为0.8%。

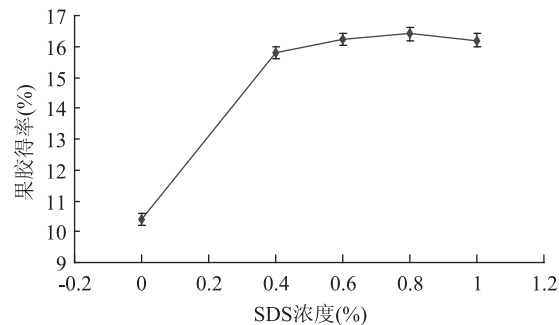


图5 SDS浓度对果胶得率的影响

Fig.5 Effect of SDS concentration on the yield of pectin

微波提取温度对果胶得率的影响:固定SDS浓度为0.8%,选用料液比1:15,pH为2.0,微波辅助提取时间12min,考察提取温度对果胶得率的影响,结果如图6所示,当温度低于45℃时,随着温度的升高,果胶迅速溶解,果胶得率随之而增大,温度在45℃~65℃果胶溶解速率达到最大,果胶得率达到最高且随温度变化不大,当温度高于70℃时,由于果胶耐热性较差,发生水解成单糖,导致果胶得率随温度升高而降低。

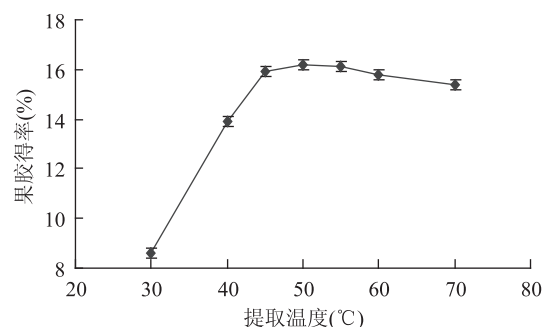


图6 提取温度对果胶提取率的影响

Fig.6 Effect of extraction temperature on the yield of pectin

2.3 响应面实验结果及分析

以果胶得率R₁为响应值,以溶剂的pH A、提取时间B、料液比C为主要影响因素,根据Box-Behnken的原理,由实验水平因素编码进行实验设计,实验结果见表2。对表2中实验数据进行二次多

项式逐步回归拟合,得到的回归方程为: $R_1 = 16.16 + 0.39A + 0.29B - 0.075C - 0.050A \cdot B - 0.18A \cdot C + 0.42B \cdot C - 0.96A^2 - 0.86B^2 - 0.68C^2$ 。

表2 响应面分析方案及实验结果

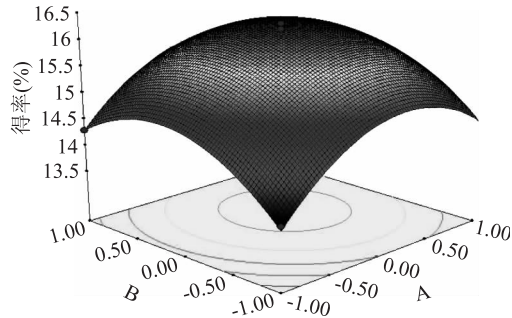
Table 2 Program and test results of response surface analysis

实验号	A pH	B 时间	C 料液比	果胶得率(%)
1	0	0	0	16.3
2	0	-1	1	13.9
3	0	-1	-1	14.7
4	0	0	0	16.2
5	1	1	0	14.9
6	0	1	-1	14.5
7	0	0	0	16.2
8	0	0	0	16
9	0	0	0	16.1
10	1	-1	0	14.5
11	-1	1	0	14.3
12	-1	-1	0	13.7
13	-1	0	-1	14.1
14	1	0	1	14.6
15	-1	0	1	14.1
16	1	0	-1	15.3
17	0	1	1	15.4

回归统计分析结果见表3。拟合方程的每个变量对响应值影响的显著程度,可以通过p值来判断^[14]。p值越小则表示对应变量的影响显著性越高,当p≤0.05时为显著水平,当p≤0.01时为水平极显著。由表3可知,二次回归模型的F=63.65,其(p>F)值小于0.0001则表示二次回归模型具有显著性。失拟项F=263,p=0.1868>0.05,说明实验设计拟合效果好,实验设计合理。模型二次项A²、B²、C²与影响因素A、B以及交互项BC均具有极显著性(p<0.01),其他因素不显著。说明pH、提取时间在

本实验中的影响是极其重要的。BC两个因素的交互作用对果胶得率有较大的影响。由此可以看出,回归模型不是简单的线性关系。各因素对提取海红果渣果胶得率的影响大小顺序为:溶剂pH>提取时间>料液比。模型调整确定系数R²=0.9573,说明该模型能较好的解释响应值的变化。

由二次回归模型得出以下三个响应曲面图,见图7~图9,分析图可以了解以下因素对响应目标(海红果渣果胶得率)的影响和各个因素间的交互作用。由图可以看出,响应曲面均是开口向下的凸面,且其中心位于所考察区域内,说明在考察的区域范围内存在响应值的最大值,通过软件分析,表面活性剂SDS/微波辅助提取海红果渣中果胶的最佳条件为:表面活性剂SDS的浓度为0.8%的条件下,控制溶剂的pH为2.04,提取时间14.3min,料液比为1:14.8(g/mL),海红果渣中果胶的得率为16.22%。

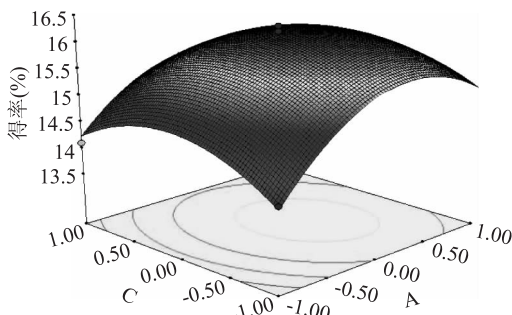
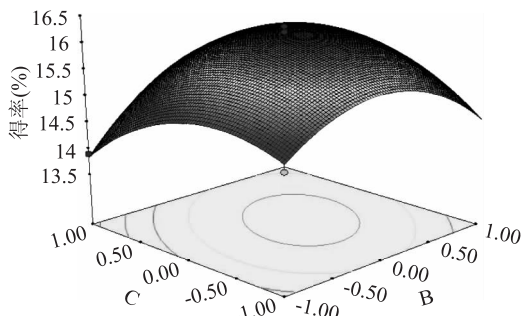
图7 R₁=(A,B)的响应面图Fig.7 Response surface plot of R₁ between A and B

2.4 验证实验

对优化所得实验方案进行验证,即采用0.500g海红果渣,按照1:15(g/mL)的料液比,加入0.8% SDS溶液,用0.05mol/L的盐酸调节pH2.0,控制微波温度50℃,微波提取时间为14min,重复提取两次。进行5次平行实验求平均值。结果海红果渣中果胶得率为16.1%。与模型预测值之间的误差为-0.12%。

表3 回归模型方差分析
Table 3 Analysis of variance for regression Model

方差来源	平方和	自由度	均方	F值	p > F
Model	12.64	9	1.40	63.65	<0.0001
A	1.20	1	1.20	54.43	0.0002
B	0.66	1	0.66	29.36	0.0009
C	0.045	1	0.045	2.04	0.1964
AB	1.000E-002	1	1.000E-002	0.45	0.5225
AC	0.12	1	0.12	5.55	0.0506
BC	0.72	1	0.72	32.73	0.0007
A ²	3.84	1	3.84	173.99	<0.0001
B ²	3.08	1	3.08	139.46	<0.0001
C ²	1.95	1	1.95	88.21	<0.0001
残差	0.15	7	0.022		
失拟项	0.10	3	0.034	2.63	0.1868
纯误差	0.052	4	0.013		
总误差	12.8	16			

图 8 $R_1 = (A, C)$ 的响应面图Fig.8 Response surface plot of R_1 between A and C图 9 $R_1 = (B, C)$ 的响应面图Fig.9 Response surface plot of R_1 between B and C

3 结论与讨论

一定浓度的表面活性剂 SDS 具有分散、渗透、润湿等作用, 增加液固接触面积, 有效降低界面张力, 从而促进果胶的充分溶出。

海红果渣中含有一定量的果胶, 采用响应面法所得到的实验模型可靠, 具有一定实用价值, 其优化的提取工艺条件是: 按照 1:15 (g/mL) 的料液比, 加入 0.8% SDS 溶液, 用 0.05 mol/L 的盐酸调节 pH2.0, 控制微波温度 50℃, 微波提取时间为 14 min, 重复提取两次。进行 5 次平行实验求平均值。结果海红果渣中果胶得率为 16.1%。

采用表面活性剂 SDS/微波辅助法提取果胶, 将微波和表面活性剂两者的功能结合起来, 起到协同

(上接第 214 页)

2004;120-121.

- [2] 吴素玲, 孙晓明, 王波, 等. 双孢蘑菇实体营养成分分析 [J]. 中国野生植物资源, 2006, 2(2): 47-52.
- [3] 高宏伟, 吴华. 双孢蘑菇实体氨基酸和不饱和脂肪酸分析 [J]. 检验检疫科, 2003, 13(2): 15-16.
- [4] 张强, 宫璐婷, 孟凡荣, 等. 双孢菇多糖抗氧化活性的研究 [J]. 中国林副特产, 2010, 104(1): 16-19.
- [5] 常海兰, 殷凤. 双孢菇的抗氧化作用及对免疫功能影响的研究 [J]. 山西医科大学学报, 2003, 34(2): 122-123.
- [6] Kozarski M, Klaus A, Niksic M, et al. Antioxidative and immunomodulating activities of polysaccharide extracts of the medicinal mushrooms *Agaricus bisporus*, *Agaricus brasiliensis*, *Ganoderma lucidum* and *Phellinus linteus* [J]. Food Chemistry, 2011, 129(4): 1667-1675.
- [7] Ruthes A C, Rattmann Y D, Carbonero E R, et al. Structural characterization and protective effect against murine sepsis of

作用, 可以显著提高海红果渣中果胶得率, 而且提取时间短, 温度低, 可降低成本。

参考文献

- [1] 潘虹. 从不同原料中提取果胶工艺的研究综述 [J]. 安徽农学通报, 2009, 30(15): 73-79.
- [2] M.Kratchanova, E.pvalova, I.Panchev. The effect of microwave heating of fresh orange peels on the fruit tissue and quality of extraction pectin [J]. Carbohydrate polymers, 2004, (56): 181-185.
- [3] 张帅, 董基, 黄志明, 等. 微波辅助提取黄皮果肉果胶工艺参数优化 [J]. 农业工程学报, 2012, 28(15): 264-268.
- [4] 岳贤天. 超声波辅助提取苹果皮中果胶的工艺研究 [J]. 安徽农业科学, 2011, 39(5): 32-35.
- [5] 韩冬梅, 廖小军, 李淑艳, 等. 酶法制取橙皮果胶的研究 [J]. 食品工业科技, 2011, 3(2): 183-186.
- [6] 顾焰波, 陈冬年, 倪秋萍, 等. 离子交换法提取香蕉皮果胶工艺研究 [J]. 广东农业科学, 2013, 14: 111-113.
- [7] 郑领英. 膜技术 [M]. 北京: 化学工业出版社, 2000: 15-17.
- [8] 孔瑾, 李新铮, 常景玲, 等. 盐析法从干南瓜皮中提取果胶的技术研究 [J]. 食品研究与开发, 2005, 26(1): 69-71.
- [9] Takuo S M, Masaru N. Research on protopectinase: A new aspect of research on pectolytic enzymes [J]. Mere.Fac.Agric.Kinki.Univ, 1999, 19(1): 32.
- [10] 岳贤田. 表面活性剂增效超声波辅助提取香蕉皮中果胶的研究 [J]. 农业机械, 2011, 12: 145-147.
- [11] 王菱. 晋陕蒙三角区特有果树——海红子 [J]. 自然资源, 1990, 3(1): 48.
- [12] 丁建东, 张雪红, 姚先超, 等. 吡唑比色法测定剑麻果胶含量 [J]. 食品研究与开发, 2010, 31(11): 138-140.
- [13] 刘程. 表面活性剂应用大全 [M]. 北京: 北京工业大学出版社, 1994: 59-64.
- [14] Shengli Y, Hui Z. Optimization of cholesterol oxidase production by *Brevibacterium* sp - employing response surface methodology [J]. African Journal of Biotechnology, 2012, 24(1): 90-94.
- fucogalactans from *Agaricus bisporus* and *Lactarius rufus* [J]. Carbohydrate Polymers, 2012, 87(2): 1620-1627.
- [8] Jeong S C, Koyyalamudi S R, Pang G. Dietary intake of *Agaricus bisporus* white button mushroom accelerates salivary immunoglobulin A secretion in healthy volunteers [J]. Nutrition, 2012, 28(5): 527-531.
- [9] 卞生珍, 杨清香. 双孢菇采后的生理生化变化 [J]. 新疆师范大学学报: 自然科学版, 2007, 26(2): 80-83.
- [10] 毛勇, 毛健, 李华钟, 等. 双孢菇深层发酵培养基的响应面优化 [J]. 食品工业科技, 2013, 4: 193-197.
- [11] 王敏, 刘爱民. 不同碳氮源对双孢蘑菇 2796 深层发酵的影响 [J]. 资源开发与市场, 2009, 25(2): 100-103.
- [12] 周德庆. 微生物学教程 [M]. 北京: 高等教育出版社, 2011: 88-89.
- [13] 刘晓鹏, 姜宁, 魏璐, 等. 白灵菇深层发酵培养基的优化研究 [J]. 中国酿造, 2009, 3: 65-68.